

Institut "Jožef Stefan"  
Odsek za reaktorsko fiziko



## 2. Konferenca Mladih Odseka F8

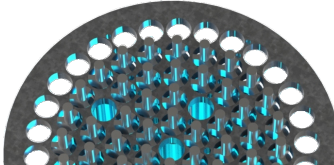
---

# Homogenost sevalnega polja v okolini gorivnih elementov

---

Junoš Lukan

---



Reaktorski center  
Podgorica, 19. 2. 2015

# Vsebina

Motivacija

Definicija in mere homogenosti

Testni primeri fluksa žarkov gama

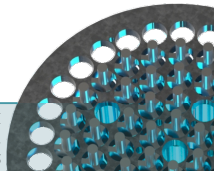
Simetrija

Število elementov

Velikost kanala

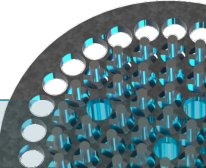
Izbor mer

Zaključek



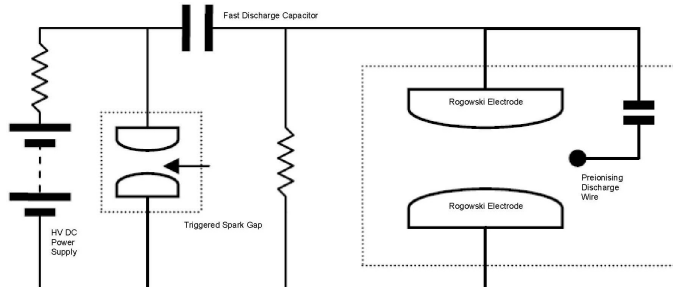
# Potreba po homogenem polju

- Slikanje z magnetno resonanco (MRI)



# Potreba po homogenem polju

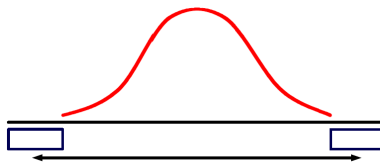
- Slikanje z magnetno resonanco (MRI)
- TEA laserji



Slika: Maggs, P., 2008, CO<sub>2</sub> TEA Laser Electrical Circuit,  
<http://commons.wikimedia.org/wiki/File:TEA-Laser-Circuit.jpg>

# Potreba po homogenem polju

- Slikanje z magnetno resonanco (MRI)
- TEA laserji
- Dopiranje kristalov v raziskovalnih reaktorjih (*Neutron Transmutation Doping of Silicon at Research Reactors*, 2012)

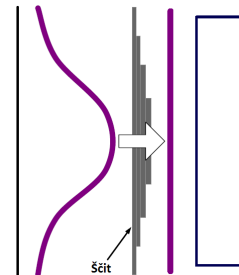


Slika: Premikanje vzorca v radialni smeri. ©IAEA, 2012, slika 9, str.

35<sup>1</sup>

<sup>1</sup> <http://www-pub.iaea.org/books/IAEABooks/8739/>

Neutron-Transmutation-Doping-of-Silicon-at-Research-Reactors-at-Research-Reactors



Slika: Premikanje vzorca v aksialni smeri. ©IAEA, 2012, slika 11, str.

37<sup>1</sup>

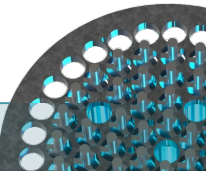
2. Konferenca ŠFOSM

Reaktorski center Podgorica

19. 2. 2015

# Potreba po homogenem polju

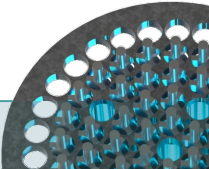
- Slikanje z magnetno resonanco (MRI)
- TEA laserji
- Dopiranje kristalov v raziskovalnih reaktorjih (*Neutron Transmutation Doping of Silicon at Research Reactors*, 2012)
- Enakomerno obsevanje vzorcev v polju gama za testiranje vzdržljivosti



# Analitične definicije

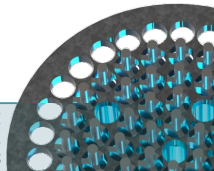
- Naključno polje:  $\xi(g) = \sum_{\lambda} \sum_{i,j=1}^{d_{\lambda}} z_{ji}^{(\lambda)} T_{ij}^{(\lambda)}(g)$ , kjer so  $z_{ji}^{(\lambda)} = d_{\lambda} \int_G \xi(g) \overline{T_{ij}^{(\lambda)}(g)} dg$ , je homogeno (Yaglom, 1961), če:

$$E z_{ji}^{(\lambda)} \overline{z_{ik}^{(\mu)}} = \delta_{\lambda\mu} \delta_{ik} f_{jl}^{(\lambda)}$$



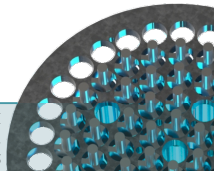
# Analitične definicije

- Naključno polje:  $\xi(g) = \sum_{\lambda} \sum_{i,j=1}^{d_{\lambda}} z_{ji}^{(\lambda)} T_{ij}^{(\lambda)}(g)$ , kjer so  $z_{ji}^{(\lambda)} = d_{\lambda} \int_G \xi(g) \overline{T_{ij}^{(\lambda)}(g)} dg$ , je homogeno (Yaglom, 1961), če:  
$$E z_{ji}^{(\lambda)} \overline{z_{ik}^{(\mu)}} = \delta_{\lambda\mu} \delta_{ik} f_{jl}^{(\lambda)}$$
- Razvoj  $\phi(\mathbf{r})$  v Taylorjevo vrsto okrog  $\mathbf{r} = 0$ , primerjava velikosti prvih nekaj členov



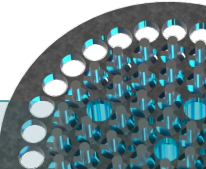
# Analitične definicije

- Naključno polje:  $\xi(g) = \sum_{\lambda} \sum_{i,j=1}^{d_{\lambda}} z_{ji}^{(\lambda)} T_{ij}^{(\lambda)}(g)$ , kjer so  $z_{ji}^{(\lambda)} = d_{\lambda} \int_G \xi(g) \overline{T_{ij}^{(\lambda)}(g)} dg$ , je homogeno (Yaglom, 1961), če:  
$$E z_{ji}^{(\lambda)} \overline{z_{ik}^{(\mu)}} = \delta_{\lambda\mu} \delta_{ik} f_{jl}^{(\lambda)}$$
- Razvoj  $\phi(\mathbf{r})$  v Taylorjevo vrsto okrog  $\mathbf{r} = 0$ , primerjava velikosti prvih nekaj členov
- **Delovna definicija:** Čim bolj konstantno polje



# Mere

1. Dvotočkovna mera:  $\frac{\phi_{\max}}{\phi_{\min}} \in [1, \infty)$

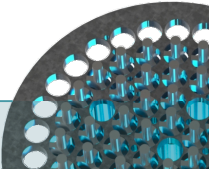


# Mere

1. Dvotočkovna mera:  $\frac{\phi_{\max}}{\phi_{\min}} \in [1, \infty)$

2. Statistične mere:

- $\frac{\phi_{\max}}{\langle \phi \rangle} \in [1, \infty); \frac{\phi_{\max} - \phi_{\min}}{\langle \phi \rangle} \in [0, \infty)$  (*Neutron Transmutation Doping of Silicon at Research Reactors*, 2012)



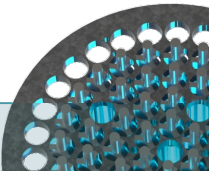
# Mere

1. Dvotočkovna mera:  $\frac{\phi_{\max}}{\phi_{\min}} \in [1, \infty)$

2. Statistične mere:

·  $\frac{\phi_{\max}}{\langle \phi \rangle} \in [1, \infty)$ ;  $\frac{\phi_{\max} - \phi_{\min}}{\langle \phi \rangle} \in [0, \infty)$  (*Neutron Transmutation Doping of Silicon at Research Reactors*, 2012)

·  $\langle \phi^2 \rangle \in [0, \infty)$



# Mere

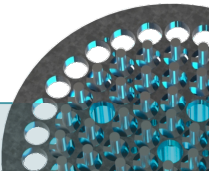
1. Dvotočkovna mera:  $\frac{\phi_{\max}}{\phi_{\min}} \in [1, \infty)$

2. Statistične mere:

·  $\frac{\phi_{\max}}{\langle \phi \rangle} \in [1, \infty)$ ;  $\frac{\phi_{\max} - \phi_{\min}}{\langle \phi \rangle} \in [0, \infty)$  (*Neutron Transmutation Doping of Silicon at Research Reactors*, 2012)

·  $\langle \phi^2 \rangle \in [0, \infty)$

·  $\langle |\nabla \phi| \rangle \in [0, \infty)$



# Mere

1. Dvotočkovna mera:  $\frac{\phi_{\max}}{\phi_{\min}} \in [1, \infty)$

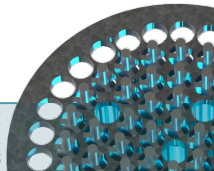
2. Statistične mere:

·  $\frac{\phi_{\max}}{\langle \phi \rangle} \in [1, \infty)$ ;  $\frac{\phi_{\max} - \phi_{\min}}{\langle \phi \rangle} \in [0, \infty)$  (*Neutron Transmutation Doping of Silicon at Research Reactors*, 2012)

·  $\langle \phi^2 \rangle \in [0, \infty)$

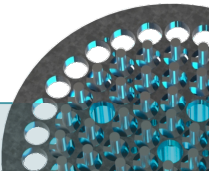
·  $\langle |\nabla \phi| \rangle \in [0, \infty)$

·  $\langle |\nabla \phi|^2 \rangle \in [0, \infty)$



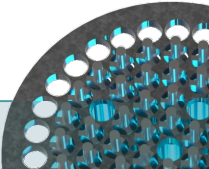
# Mere

1. Dvotočkovna mera
2. Statistične mere
3. Razdalja med matriko  $\phi(\mathbf{r}_i) = \phi(x_i, y_j, z_k) = [\Phi]_{ijk}$  in konstantno matriko  $[E]_{ijk} \equiv 1, \forall i, j, k$



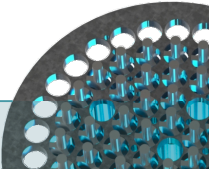
# Mere

1. Dvotočkovna mera
2. Statistične mere
3. Razdalja med matriko  $\phi(\mathbf{r}_i) = \phi(x_i, y_j, z_k) = [\Phi]_{ijk}$  in konstantno matriko  $[E]_{ijk} \equiv 1, \forall i, j, k$   
Frobeniusova norma:  $\|A\|_F \equiv \sqrt{\text{tr}(A^* A)}$



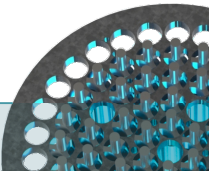
# Mere

1. Dvotočkovna mera
2. Statistične mere
3. Razdalja med matriko  $\phi(\mathbf{r}_i) = \phi(x_i, y_j, z_k) = [\Phi]_{ijk}$  in konstantno matriko  $[E]_{ijk} \equiv 1, \forall i, j, k$   
Frobeniusova norma:  $\|A\|_F \equiv \sqrt{\text{tr}(A^* A)}$
4. Porazdelitev največjih razlik:



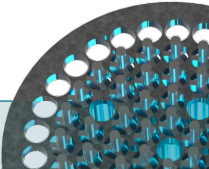
# Mere

1. Dvotočkovna mera
2. Statistične mere
3. Razdalja med matriko  $\phi(\mathbf{r}_i) = \phi(x_i, y_j, z_k) = [\Phi]_{ijk}$  in konstantno matriko  $[E]_{ijk} \equiv 1, \forall i, j, k$   
Frobeniusova norma:  $\|A\|_F \equiv \sqrt{\text{tr}(A^* A)}$
4. Porazdelitev največjih razlik:
  - $v_1 = (\phi_0, \phi_1, \dots, \phi_n)$ , kjer je  $\phi_0 < \phi_1 < \dots < \phi_n$



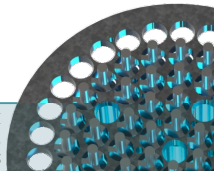
# Mere

1. Dvotočkovna mera
2. Statistične mere
3. Razdalja med matriko  $\phi(\mathbf{r}_i) = \phi(x_i, y_j, z_k) = [\Phi]_{ijk}$  in konstantno matriko  $[E]_{ijk} \equiv 1, \forall i, j, k$   
Frobeniusova norma:  $\|A\|_F \equiv \sqrt{\text{tr}(A^* A)}$
4. Porazdelitev največjih razlik:
  - $v_1 = (\phi_0, \phi_1, \dots, \phi_n)$ , kjer je  $\phi_0 < \phi_1 < \dots < \phi_n$
  - $v_2 = (\phi_n, \dots, \phi_1, \phi_0)$



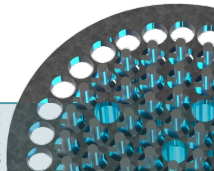
# Mere

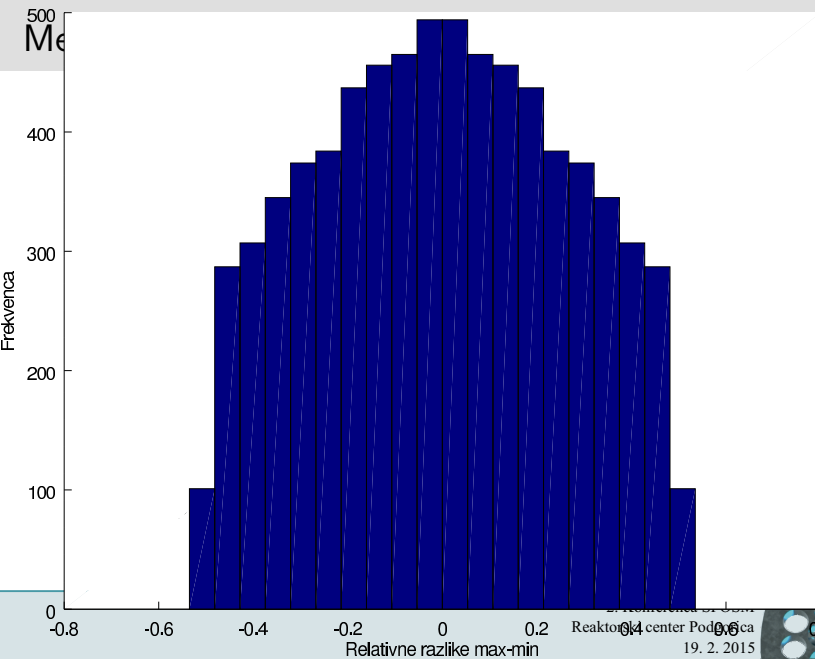
1. Dvotočkovna mera
2. Statistične mere
3. Razdalja med matriko  $\phi(\mathbf{r}_i) = \phi(x_i, y_j, z_k) = [\Phi]_{ijk}$  in konstantno matriko  $[E]_{ijk} \equiv 1, \forall i, j, k$   
Frobeniusova norma:  $\|A\|_F \equiv \sqrt{\text{tr}(A^* A)}$
4. Porazdelitev največjih razlik:
  - $v_1 = (\phi_0, \phi_1, \dots, \phi_n)$ , kjer je  $\phi_0 < \phi_1 < \dots < \phi_n$
  - $v_2 = (\phi_n, \dots, \phi_1, \phi_0)$
  - Histogram porazdelitve  $(v_2 - v_1) / \langle v_1 \rangle$



# Mere

1. Dvotočkovna mera
2. Statistične mere
3. Razdalja med matriko  $\phi(\mathbf{r}_i) = \phi(x_i, y_j, z_k) = [\Phi]_{ijk}$  in konstantno matriko  $[E]_{ijk} \equiv 1, \forall i, j, k$   
Frobeniusova norma:  $\|A\|_F \equiv \sqrt{\text{tr}(A^* A)}$
4. Porazdelitev največjih razlik:
  - $v_1 = (\phi_0, \phi_1, \dots, \phi_n)$ , kjer je  $\phi_0 < \phi_1 < \dots < \phi_n$
  - $v_2 = (\phi_n, \dots, \phi_1, \phi_0)$
  - Histogram porazdelitve  $(v_2 - v_1) / \langle v_1 \rangle$
  - Percentili:  $P_{75}, P_{95}, P_{97.5}$



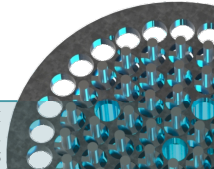
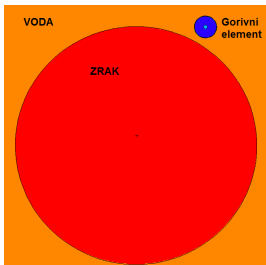


antno

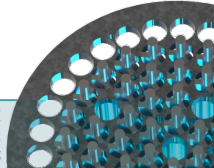
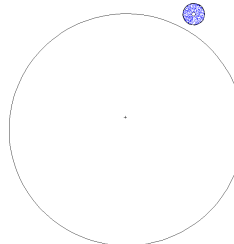
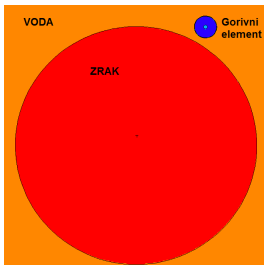
0.8

19. 2. 2015

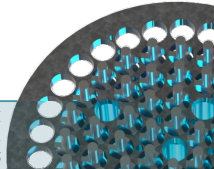
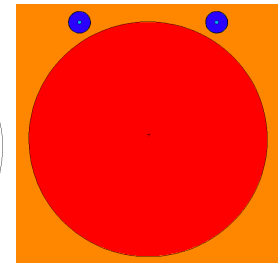
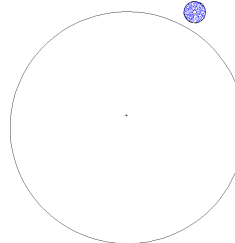
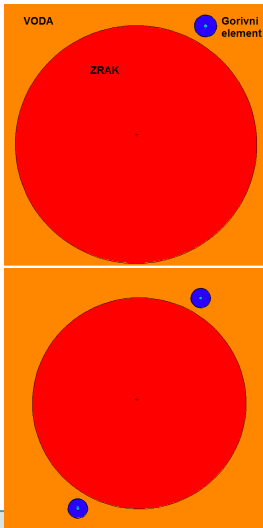
# Nesimetrična razporeditev



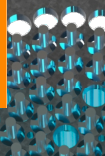
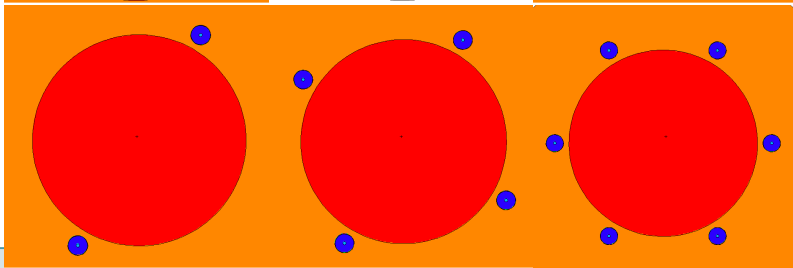
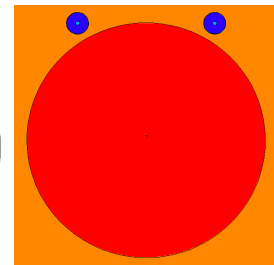
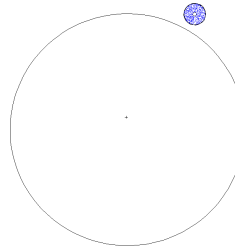
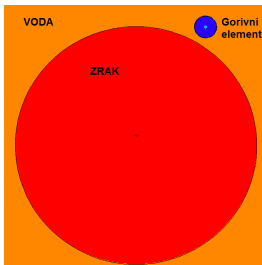
# Nesimetrična razporeditev



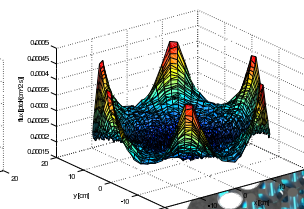
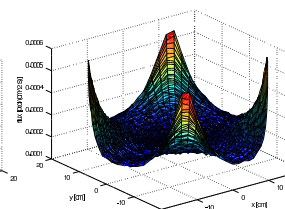
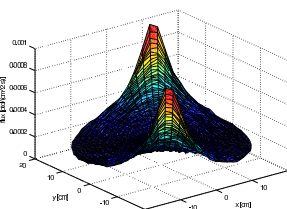
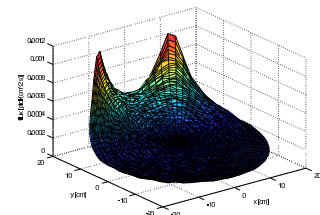
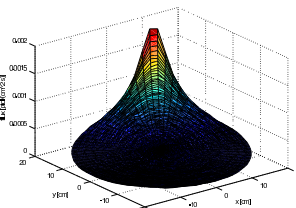
# Nesimetrična razporeditev



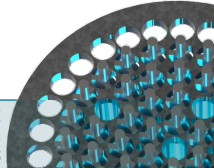
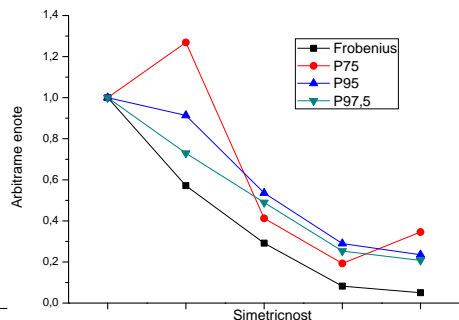
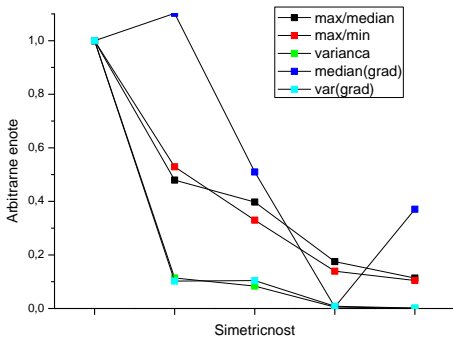
# Nesimetrična razporeditev



# Nesimetrična razporeditev – fluks žarkov gama



# Nesimetrična razporeditev – nehomogenost

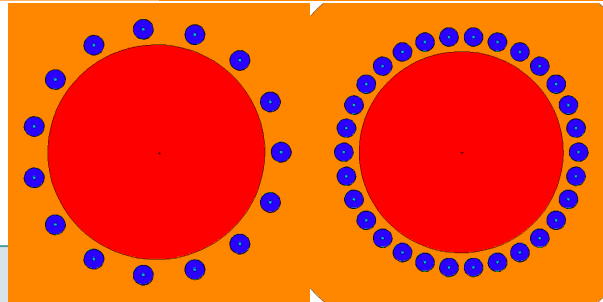
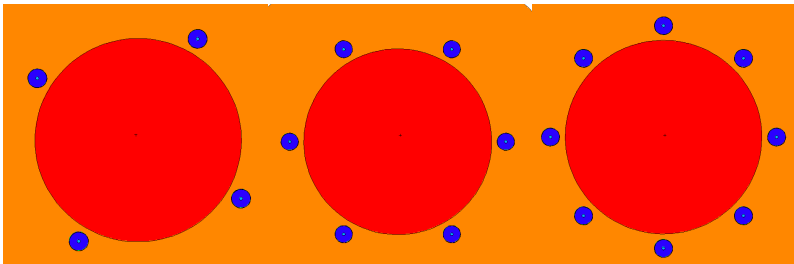


Homogenost polja

└ Testni primeri fluksa žarkov gama

└ Število elementov

## Število gorivnih elementov

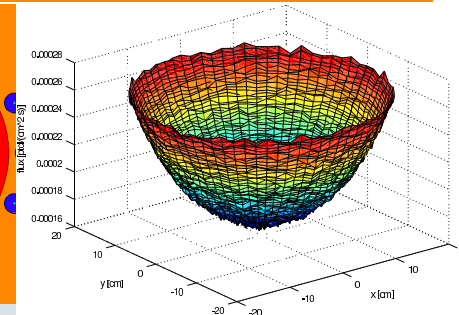
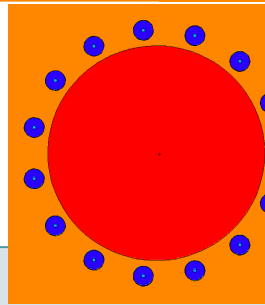
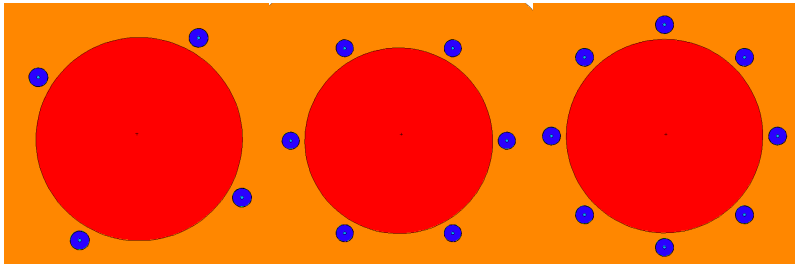


Homogenost polja

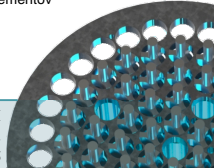
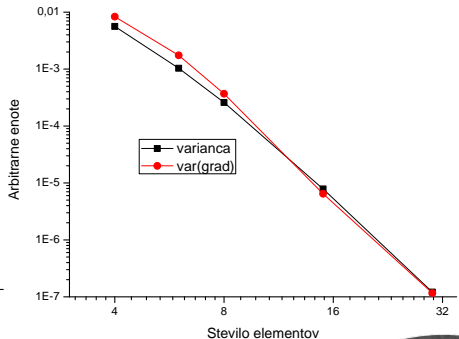
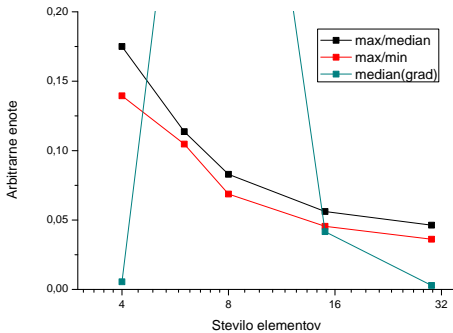
└ Testni primeri fluksa žarkov gama

└ Število elementov

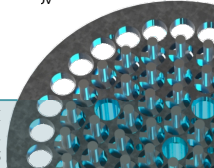
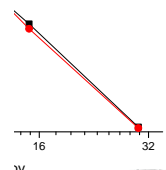
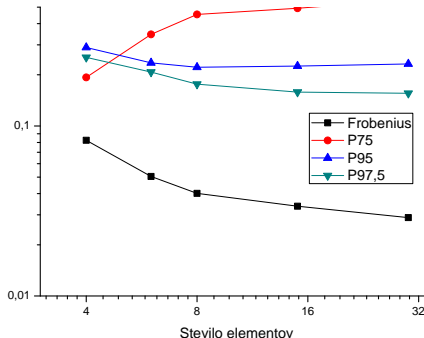
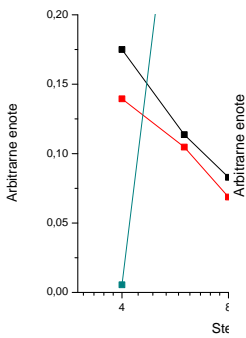
## Število gorivnih elementov



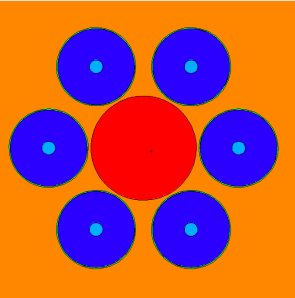
# Število gorivnih elementov – nehomogenost



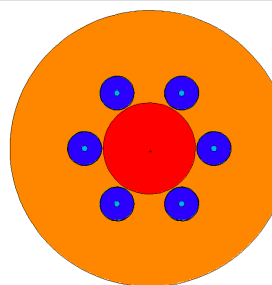
# Število gorivnih elementov – nehomogenost



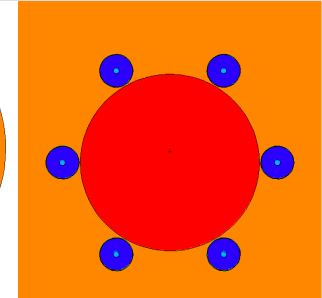
## Velikost obsevalnega kanala



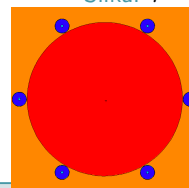
Slika:  $r = 2.5 \text{ cm}$



Slika:  $r = 5 \text{ cm}$

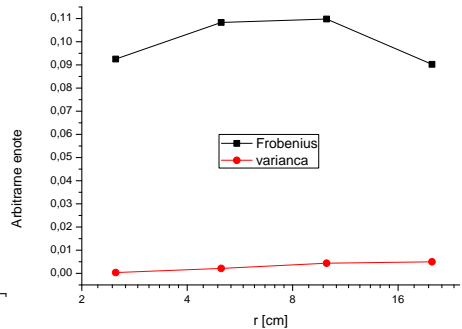
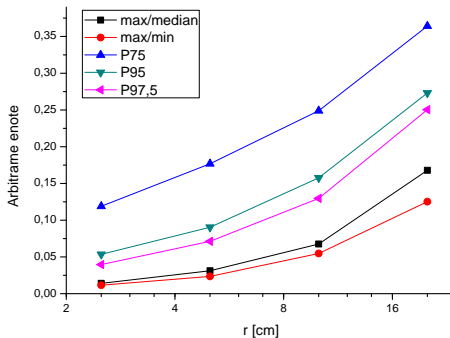


Slika:  $r = 10 \text{ cm}$

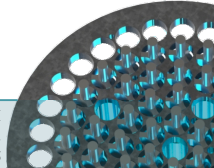
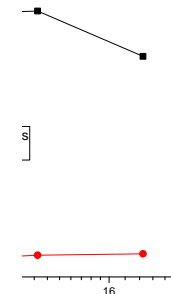
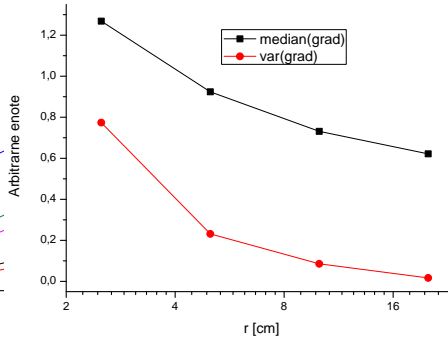
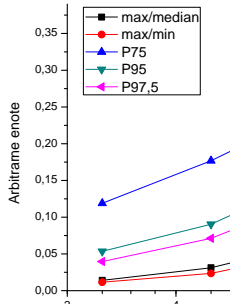


Slika:  $r = 20 \text{ cm}$

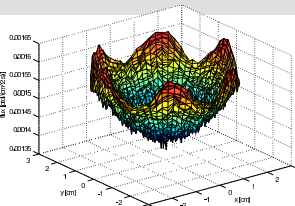
# Velikost obsevalnega kanala – nehomogenost



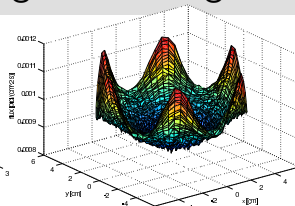
# Velikost obsevalnega kanala – nehomogenost



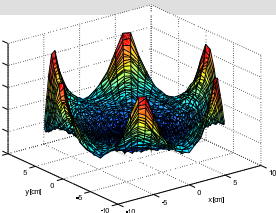
# Velikost obsevalnega kanala – gradient



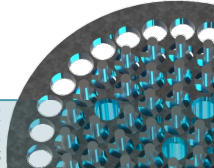
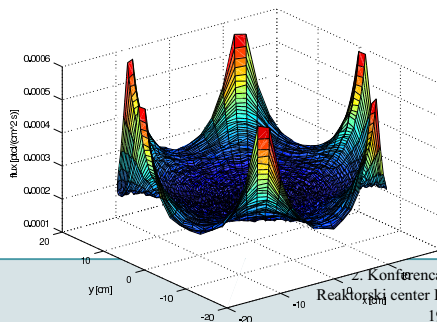
Slika:  $r = 2.5 \text{ cm}$



Slika:  $r = 5 \text{ cm}$

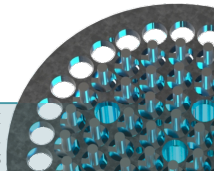


Slika:  $r = 10 \text{ cm}$



# Najbolje mere homogenosti

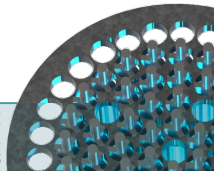
Analiza glavnih komponent (angl. principal component analysis, PCA): prva komponenta pojasni 76 % variance



# Najbolje mere homogenosti

Analiza glavnih komponent (angl. principal component analysis, PCA): prva komponenta pojasni 76 % variance

Mera	Nasičenost
max/median	0.38
max/min	0.38
varianca	0.35
median(grad)	0.18
var(grad)	0.24
Frobenius	0.38
$P_{75}$	0.31
$P_{95}$	0.36
$P_{97.5}$	0.37

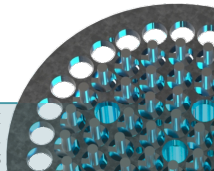


# Najboljše mere homogenosti

Analiza glavnih komponent (angl. principal component analysis, PCA): prva komponenta pojasni 76 % variance

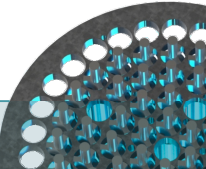
Multipla regresija za napoved vsote mer homogenosti

Mera	Nasičenost
max/median	0.38
max/min	0.38
varianca	0.35
median(grad)	0.18
var(grad)	0.24
Frobenius	0.38
$P_{75}$	0.31
$P_{95}$	0.36
$P_{97.5}$	0.37



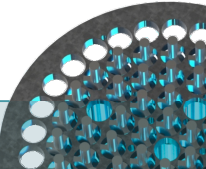
# Zaključek

- Več možnosti za ovrednotenje homogenosti polja



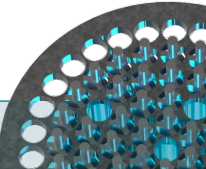
# Zaključek

- Već možnosti za ovrednotenje homogenosti polja
- Gradient občutljiv na statistične napake



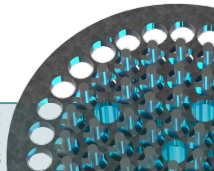
# Zaključek

- Več možnosti za ovrednotenje homogenosti polja
- Gradient občutljiv na statistične napake
- Vsota več mer

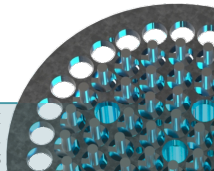


# Zaključek

- Več možnosti za ovrednotenje homogenosti polja
- Gradient občutljiv na statistične napake
- Vsota več mer
- Linearnost mere?



# Hvala za pozornost!



# Literatura

-  Ernst, G. J. (1984). Uniform-field electrodes with minimum width. *Optics Communications*, 49(4), 275–277. Pridobljeno <http://doc.utwente.nl/69355/>
-  Merritt, R., Purcell, C. & Stroink, G. (1983). Uniform magnetic field produced by three, four, and five square coils. *Review of Scientific Instruments*, 54(7), 879–882. doi:10.1063/1.1137480
-  Neutron transmutation doping of silicon at research reactors. (2012). Dunaj: International atomic energy agency. Pridobljeno 17. februarja 2015, <http://www-pub.iaea.org/books/IAEABooks/8739/Neutron-Transmutation-Doping-of-Silicon-at-Research-Reactors-at-Research-Reactors>
-  Yaglom, A. M. (1961). Second-order homogeneous random fields. *V Proceedings of the fourth berkeley symposium on mathematical statistics and probability, volume 2: Contributions to probability theory* (str. 593–622). The Regents of the University of California, Berkeley.